

УДК 537.311.333

**ОБРАЗОВАНИЕ ДВОЙНИКОВ
И ГЕКСАГОНАЛЬНОЙ МОДИФИКАЦИИ
В КРЕМНИИ ПРИ ОБЛУЧЕНИИ
ИНТЕНСИВНЫМИ ПУЧКАМИ ИОНОВ Ar^+**

Ф. Ф. Комаров, А. П. Новиков, С. А. Петров

Проведена полная интерпретация электронно-дифракционных картин от монокристаллов кремния (001)-ориентации, облученных ионами Ar^+ с энергией 150 кэВ и плотностью тока ионного пучка $\sim 100 \text{ мкA/cm}^2$. Установлено, что в процессе рекристаллизации аморфизованных слоев как при высокоинтенсивном ионном облучении, так и в случае термического отжига при температуре 1073 К образцов, предварительно облученных ионами Ar^+ дозой $2 \cdot 10^{15} \text{ см}^{-2}$, создаются сходные условия для формирования вторичных нарушений. После окончания процесса твердофазной эпитаксии электронно-дифракционные картины различны. В частности, на электронограммах в случае высокоинтенсивного ионного облучения не наблюдаются первичные двойники типа $1/3\{511\}$ и $1/3\{822\}$, но появляются $\{0002\}$ -рефлексы, гексагональной модификации кремния.

Из литературных источников о кристаллической структуре кремния, облученного большими дозами (10^{16} см^{-2}) ионов P^+ , As^+ и Ar^+ в самоотжиговом режиме, известно, что после высокоинтенсивного ионного легирования (ВИЛ) кристалл содержит повышенную концентрацию остаточных нарушений на глубине, превышающей средний проективный пробег ионов [¹⁻³].

В настоящей работе проведен анализ дифракционных картин от двойников при высокоинтенсивном ионном облучении в сравнении с термическим отжигом кристаллов кремния, предварительно облученных ионами Ar^+ . Имплантированные образцы исследовались с помощью методов обратного резерфордовского рассеяния (РОР) канализированных протонов и просвечивающей электронной микроскопии (ПЭМ).

Кремниевые пластины марки КЭФ-20 (001)-ориентации облучались в непрерывном режиме сфокусированным пучком ионов Ar^+ с энергией 150 кэВ. Плотность ионного тока $\sim 100 \text{ мкA/cm}^2$, времена имплантации 2, 14 и 30 с. Энергетические спектры РОР протонов с начальной энергией 600 кэВ снимались для случая канализирования вдоль $\langle 100 \rangle$ и для неориентированной мишени. ПЭМ исследования проводились на клиновидных участках имплантированных образцов, приготовленных методом химико-динамического утонения.

Из спектров РОР (рис. 1) видно, что уже после 2 с имплантации вблизи поверхности образуется аморфный слой толщиной 150—180 нм (кривая 1). Плотность мощности падающего пучка 15 Вт/ cm^2 , что обеспечивает быстрый нагрев мишени. Рост температуры мишени способствует динамическому отжигу нарушений, образующихся в монокристаллической решетке матрицы. После достижения некоторой критической температуры над разупорядочением структуры начинает доминировать процесс отжига дефектов. После 16—20 с имплантации устанавливается максимальная температура мишени 1070 К. Кривая 2 показывает, что облучение монокристаллов интегральным потоком 8.6×10^{15} ион/ cm^2 приводит к уменьшению толщины нарушенного слоя в два раза. Ориентированная рекристаллизация происходит как из глубины, так и со стороны поверхности. Анализ спектров РОР от мишени, облученной интеграль-

ным потоком $1.8 \cdot 10^{16}$ ион/ см^2 (кривая 3), позволяет заключить, что при ВИЛ в результате самоотжига происходит полная кристаллизация аморфного слоя. Область, содержащая максимальное количество нарушений, формируется на глубине, превышающей средний проективный пробег ионов R_p .

В результате ПЭМ исследований было установлено, что после имплантации ионов аргона в течение 14 с на электронограммах наряду с матричными рефлексами и размытыми диффузными кольцами наблюдаются дополнительные иррациональные пятна (экстрапрефлексы). Анализ дифракционных картин от данных двойниковых структур осуществлялся при помощи стереографических проекций с учетом возможности явления вторичной дифракции [4, 5]. Проведенный анализ дифракционных картин при высокointенсивном ионном облучении позволил выделить следующие экстрапрефлексы (рис. 2, a).

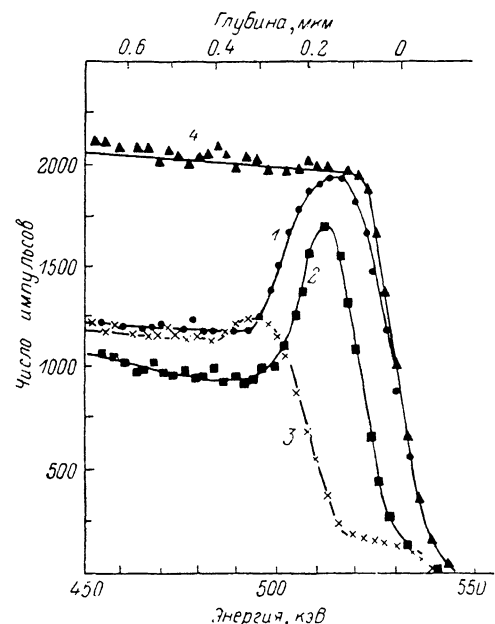
Восемь дифракционных пятен в $\langle 100 \rangle$ -направлениях, имеющих индексы типа 1/3 {511} в координатной системе обратной решетки матрицы. Рефлексы этой группы — результат дифракции на всех возможных первичных двойниках.

Такие же позиции на электронограмме занимают рефлексы вторичной дифракции на структуре первичный двойник—матрица. Здесь и в дальнейшем в тексте имеется в виду ситуация, когда пучок, дифрагированный в одном элементе структуры (двойнике или матрице), имеет геометрическую возможность дифрагировать в другом элементе [5].

Четыре пары экстрапятен, расположенных на кольце (220), имеют индексы

Рис. 1. Энергетические спектры обратного резерфордовского рассеяния протонов в кристаллах кремния с ориентацией (001), облученных ионами Ar^+ с энергией 150 кэВ.

Время облучения (с): 1 — 2, 2 — 14, 3 — 30; 4 — спектр для неориентированного кристалла.



типа 1/3 {822} и возникают в результате дифракции на первичных двойниках. Однако дальнейший анализ при построении стереографических проекций показал, что месторасположение каждого из вышеуказанных рефлексов с точностью $1-2^\circ$ совпадает с расположением двух пятен от вторичных двойников.

На кольце (311) можно выделить следующие группы экстрапрефлексов.

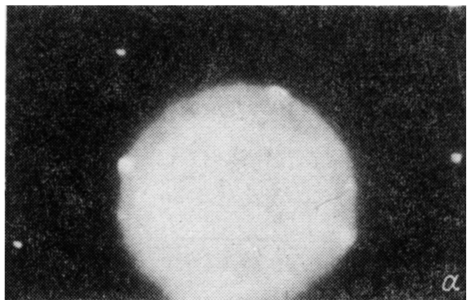
1) Четыре рефлексы типа 1/3 {771}, лежащих на $\langle 110 \rangle$ -направлениях. Каждый из них может являться результатом суперпозиции пучков, дифрагированных на первичных и вторичных двойниках, т. е. $g_{1/3}(771) = g_{1/3}(822) + g_{1/3}(511)$.

2) Четыре пары смежных групп рефлексов, лежащих на угловом расстоянии $\sim 19^\circ$ от $\langle 100 \rangle$ -направлений. В указанные области попадают рефлексы, обусловленные матрицей, первичными и вторичными двойниками, а также в результате вторичной дифракции. В частности, имеем: $g_{(311)} = g_{1/3}(511) + g_{1/3}(822)$.

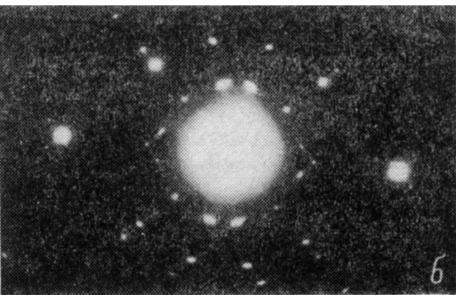
На дифракционном кольце (331) находятся четыре рефлекса в $\langle 110 \rangle$ -направлениях, которые являются результатом суперпозиции узлов обратной решетки матрицы и первичных двойников. Получаем, что $g_{(331)} = g_{(400)} + g_{1/3}(822)$. Наличие на электронограммах от образцов кремния, облученных в течение 14 с, рефлексов от микродвойников позволяет сделать вывод о том, что произошла частичная кристаллизация аморфного слоя. Формирование микродвойников является эффектом, сопутствующим процессу кристаллизации.

Электронно-дифракционная картина образцов монокристаллического Si при высокointенсивном ионном облучении ($t=14$ с) имеет сходный характер с электронно-дифракционной картиной от образцов кремния (001)-ориентации,

облученных ионами аргона дозой $2 \cdot 10^{15} \text{ см}^{-2}$ и отожженных при температуре 1073 К (рис. 2, б). В обоих случаях на электронограммах присутствуют двойниковые пятна: $1/3 \{511\}$, $1/3 \{822\}$, $1/3 \{771\}$. Это позволяет заключить, что в процессе твердофазной эпитаксии как при ВИЛ, так и обычном термическом отжиге кристаллов кремния, предварительно облученных ионами Ar^+ , сохраняются сходные условия для образования вторичных дефектов. Помимо рефлексов, разрешенных для структуры типа алмаза, на экспериментальных электронограммах



a



b

Рис. 2. Электронограммы от образцов кремния (001)-ориентации: *a*) облученных в течение 14 с ионами Ar^+ с энергией 150 кэВ при плотности тока ионного пучка $\sim 100 \text{ мкА/см}^2$; *b*) облученных ионами Ar^+ дозой $2 \cdot 10^{15} \text{ см}^{-2}$ и отожженных при температуре 1073 К.

tronограммах (рис. 2, *b*) наблюдаются запрещенные отражения. К ним относятся четыре пары смежных рефлексов в $\langle 110 \rangle$ -направлениях, которые отстоят от центра дифракционной картины на расстояниях, соответствующих (222)-запрещенному кольцу. Было установлено, что данные экстрапрефлексы являются результатом вторичной дифракции. Такие дифракционные картины показывают наличие четырех пятен, лежащих на $\langle 110 \rangle$ -направлениях, которые обусловлены дифракцией на вторичных двойниках. На электронограммах ВИЛ вышеуказанные рефлексы отсутствуют, но зато присутствуют размытые диффузные кольца, которых нет на рис. 2, *b*. Из этого рисунка видно, что на дифракционной картине появляются так называемые «ложные» рефлексы $\{200\}$, запрещенные для структуры типа алмаза правилами отбора.

Их появление можно связывать с локальным усилением интенсивности в месте пересечения обратных стержней от смежных узлов $1/3 \{511\}$ первичных двойников. Данных «ложных» дифракционных пятен при высокointенсивном облучении ионами Ar^+ в течение 14 с монокристаллов Si не выявлено.

В образцах, подвергнутых облучению в течение 30 с, аморфизированный

Рис. 3. Электронограмма от образцов кремния (001)-ориентации, облученных в течение 30 с ионами Ar^+ с энергией 150 кэВ при плотности тока ионного пучка $\sim 100 \text{ мкА/см}^2$.

слой полностью кристаллизовался и диффузные кольца на электронограммах исчезали (рис. 3). Наряду с двойниковыми рефлексами типа $1/3 \{771\}$ на электронно-дифракционных картинах появляются рефлексы $\{200\}$. Их появление можно трактовать как результат вторичной дифракции. Но двойниковые пятна типа $1/3 \{511\}$, которые присутствовали на электронограммах ВИЛ при $t=14$ с, уже не были обнаружены.

Кроме того, помимо двойниковых и матричных рефлексов, присутствуют также рефлексы, интерпретируемые как отражения от плоскостей гексагональной модификации кремния вюрцитного типа ($a=3.80 \text{ \AA}$ и $c=6.28 \text{ \AA}$). Эти рефлексы не могут быть объяснены с точки зрения дифракции от идеального кристалла. Четыре вытянутых вдоль $\langle 110 \rangle$ -направлений матрицы дифракционных пятна примерно соответствуют расстоянию между $\{111\}$ -плоскостями Si.

Указанные рефлексы могут быть интерпретированы как отражения от плоскостей {0002} гексагонального кремния вюрцитного типа. Межплоскостные расстояния для {0002}-отражений составляют 3.15 Å, которые хорошо согласуются с литературными данными [6]. Исходя из формы дифракционных пятен, можно заключить, что ГПУ включения образуются в виде тонких пластин. Механизм образования ГПУ фазы кремния в настоящее время еще до конца не выяснен.

Литература

- [1] Holland O. W., Narayan I. Appl. Phys. Lett., 1984, v. 44, N 8, p. 758—760.
- [2] Gabilli E., Lotti R., Lulli G. et al. Jap. J. Appl. Phys., 1985, v. 24, N 1, p. 14—16.
- [3] Tan T. Y., Foll H., Hu S. M. Phys. Mag. A, 1981, v. 44, N 1, p. 127—140.
- [4] Утесский Л. М. Дифракционная электронная микроскопия в металловедении. М.: Металлургия, 1973. 584 с.
- [5] Хириш П., Хови А., Николсон Р. и др. Электронная микроскопия тонких кристаллов. М.: Мир, 1968. 575 с.
- [6] Kasper I. S., Wentorf R. H. Science, 1977, v. 197, N 4303, p. 599.

Научно-исследовательский институт
прикладных физических проблем
им. А. Н. Севченко
при Белорусском государственном
университете им. В. И. Ленина
Минск

Поступило в Редакцию
30 сентября 1986 г.
В окончательной редакции
14 мая 1987 г.